

## Descrição do problema

Neste trabalho estuda-se o posicionamento das cabeças de leitura/escrita de um disco rígido, avaliando-se estratégias de actuação do braço que as suporta para conseguir um reposicionamento rápido.

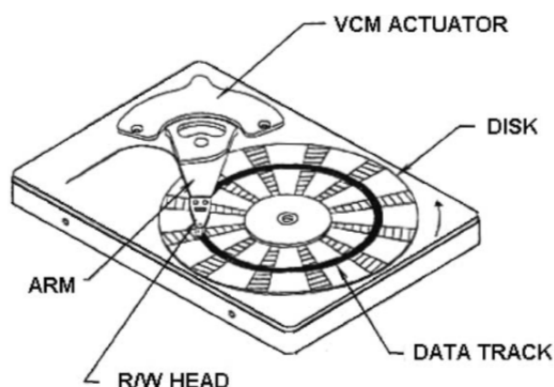


Fig. 1 – Estrutura mecânica dum disco rígido.

A figura 1 mostra a estrutura mecânica dum disco rígido. A superfície do disco contém milhares de pistas de gravação (*tracks*) concêntricas, que são lidas ou escritas por uma cabeça magnética. A cabeça é suportada por um sistema de suspensão e transporte, pairando a muito curtas distâncias (da ordem de  $\mu\text{m}$ ) da superfície do disco em rotação. Um servomotor movimenta o braço, posicionando a cabeça sobre a pista pretendida, sendo desejável que esta operação seja precisa e rápida. O sistema mecânico em estudo consiste no servomotor, braço, e cabeça magnética. A entrada do sistema é uma tensão,  $u$ , aplicada ao servomotor, sendo a saída,  $y$ , a posição radial da cabeça sobre o disco. Aproxima-se a dinâmica deste sistema por

$$\ddot{y} = u - b\dot{y}$$

onde  $b$  é uma constante associada a um termo que modela o efeito do atrito. Em unidades apropriadas o módulo da entrada de controlo não pode exceder o valor máximo 1 e toma-se como valor numérico nominal  $b = 0$ .

O posicionamento da cabeça pode ser formulado, de forma canónica, como um problema de actuação que leva o estado do sistema duma configuração inicial (em unidades apropriadas)  $y(0) = 1, \dot{y}(0) = 0$  para  $y(T) = 0, \dot{y}(T) = 0$ , sendo desejável que o intervalo  $T$  seja o menor possível. O **objectivo deste**

**trabalho** é comparar diferentes estratégias para controlo do braço da unidade de disco.

O trabalho proposto enfatiza os aspectos relacionados com a optimalidade do sinal de comando do braço, e com a forma de lidar com os erros de posicionamento. A obtenção duma solução analítica para um problema formal de controlo óptimo não se enquadra nos objectivos da disciplina de Modelação e Simulação<sup>1</sup>, adoptando-se aqui uma abordagem baseada em simulação.

## Trabalho a realizar

Considere sinais de controlo  $u(t)$  obtidos por concatenação de pares de impulsos semelhantes (figura 2a). Um sinal  $u(t)$  pode ser expresso como uma sobreposição de duas réplicas deslocadas e escaladas (no tempo e em

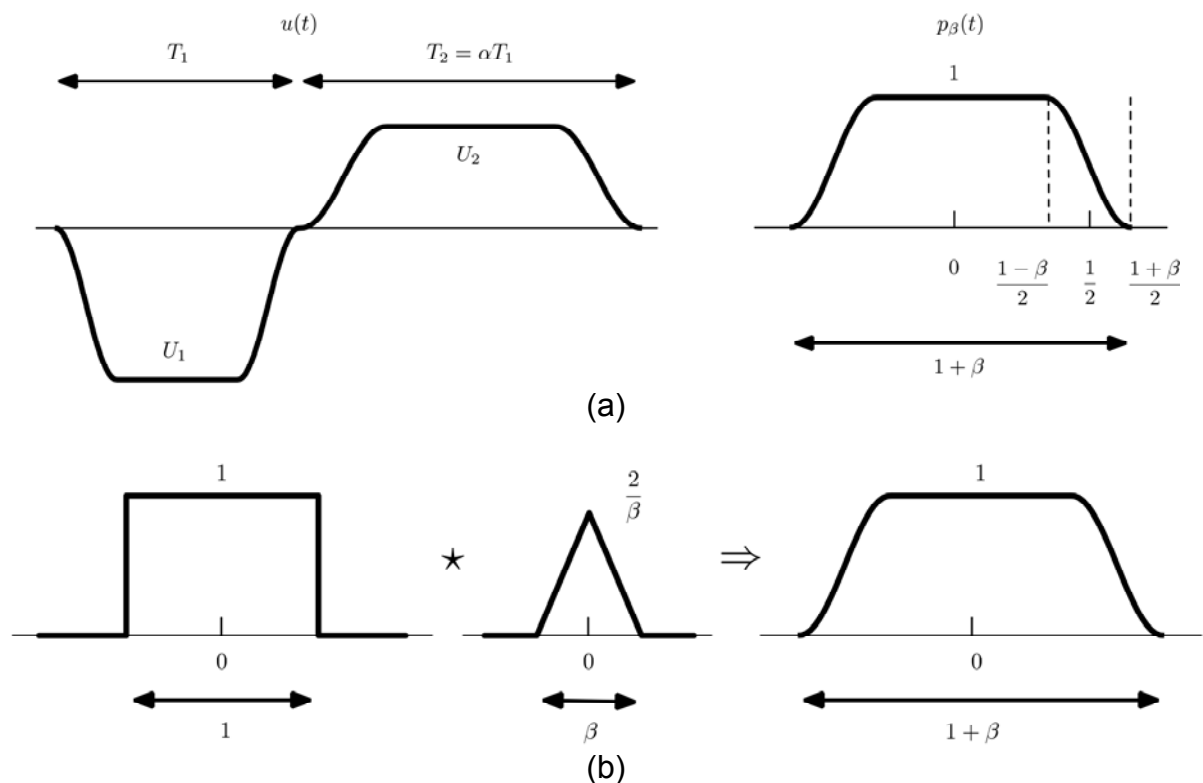


Fig. 2 – (a) Estrutura dos sinais a aplicar ao sistema (b) Modelo para o impulso protótipo

<sup>1</sup> A solução analítica é dada pelas técnicas de Controlo Óptimo e estuda-se no 2º ciclo, na disciplina de Controlo em Espaço de Estados.

amplitude) de impulsos protótipo  $p_\beta(t)$  cujo modelo de geração (conceptual) está representado na figura 2b. O parâmetro  $0 \leq \beta \leq 1$  controla a suavidade dos flancos dos impulsos.

1. **(Em casa)** Obtenha uma expressão analítica para  $p_\beta(t)$
2. Desenvolva uma função para geração do impulso protótipo. Esta recebe como entrada um vector de instantes temporais,  $t$ , e o parâmetro  $\beta$ . Devolve os valores de  $p_\beta(t)$  calculados nesses instantes.
3. Desenvolva uma função para gerar  $u(t)$  a partir do protótipo. Esta recebe como entrada a duração total da forma de onda,  $T$ , o parâmetro  $\alpha$ , o parâmetro  $\beta$ , as amplitudes  $U_1$  e  $U_2$  e o número de pontos de cada um dos impulsos,  $n_1$  e  $n_2$ . Devolve o vector com os instantes de tempo (com  $n_1+n_2-1$  elementos) e  $u(t)$ . Note que na figura 2a se tem para o primeiro impulso (por exemplo)  $u_1(t) = -U_1 p_\beta\left(\frac{t-\frac{T_1}{2}}{\mu_1}\right)$ , com  $\mu_1 = \frac{T_1}{1+\beta}$ .
4. **(Em casa)** Verifique que o protótipo tem área unitária, ou seja,  $\int_{-\infty}^{\infty} p_\beta(t) dt = 1$ . Com base neste resultado calcule a área de uma versão escalada em amplitude e no tempo,  $\int_{-\infty}^{\infty} U p_\beta\left(\frac{t}{\mu}\right) dt = U\mu$ .
5. **(Em casa)** Quando a entrada  $u(t)$  é constante mostre que no plano de fase  $(y, \dot{y})$  o estado do sistema percorre uma trajectória parabólica. A figura 3 ilustra uma estratégia baseada neste resultado que conduz o estado do sistema do ponto inicial para a origem em dois passos, por aplicação sucessiva de um par de impulsos rectangulares com igual duração e amplitudes simétricas  $\pm 1$  (o que corresponde ao caso  $\alpha = 1, \beta = 0$ ).

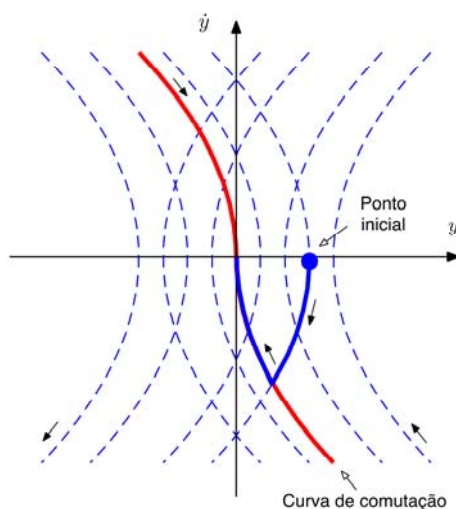


Fig. 3 – Diagrama de comutação com entrada bi-nível simétrica.

6. **(Em casa) Dados**  $\alpha$  e  $\beta$  pretende-se agora determinar os parâmetros  $U_1$ ,  $U_2$ , e  $T$  (ou  $T_1$ ,  $T_2$ ) para que  $u(t)$  conduza o sistema da configuração inicial dada  $y(0) = 1, \dot{y}(0) = 0$  para a configuração final desejada  $y(T) = 0, \dot{y}(T) = 0$  em tempo mínimo. **Sem recorrer à expressão analítica** de  $p_\beta(t)$  comece por relacionar as amplitudes das duas réplicas,  $U_1$  e  $U_2$ , para que  $\dot{y}(T) = \int_{-\infty}^{\infty} u(t) dt = 0$ . De seguida calcule<sup>2</sup>  $y(T) = y(0) + \int_0^T \dot{y}(t) dt$  em função de  $U_1$ ,  $T_1$ ,  $\alpha > 0$  e  $\beta > 0$ . Atendendo a que  $y(T) - y(0) = -1$ , expresse  $U_1$  em função de  $T_1$ . Finalmente, imponha a restrição  $|U_1|, |U_2| \leq 1$ , para obter o valor mínimo admissível para  $T$  em função de  $\alpha$  e  $\beta$ . Qual o valor de  $\alpha$  que minimiza esse tempo?

7. Simule o sistema com entradas compostas de acordo com a alínea anterior para 3 pares diferentes de  $\alpha, \beta$ , confirmando os resultados analíticos. Analise também o comportamento de uma versão perturbada do sistema nominal com  $b = 0.025$ .

8. Retomando a estratégia de actuação com impulsos rectangulares simétricos  $\pm 1$  da figura 3, pretende-se realizá-la usando uma arquitectura de controlo em malha fechada representada na figura 4a. Agora, os impulsos rectangulares que compõem  $u(t)$  não são gerados *a priori*, mas sim dinamicamente em função da evolução do próprio sistema. Neste contexto,

<sup>2</sup> Para este cálculo é suficiente conhecer a área total do protótipo escalado (já calculada) atendendo às simetrias dos flancos de  $\dot{y}(t) = \int_0^t u(\tau) d\tau$ .

ao conjunto dos dois ramos de parábola da figura 3 que convergem na origem chama-se *curva de comutação*. Realizando o subsistema “Subsys” da figura 4a um mapeamento descrito por  $f(x) = \text{sgn}(x)\sqrt{2|x|}$ , **represente** a função de geração da entrada  $u(y, \dot{y})$  (região tracejada no diagrama de blocos) e **explique** o princípio de funcionamento global da estrutura de controlo

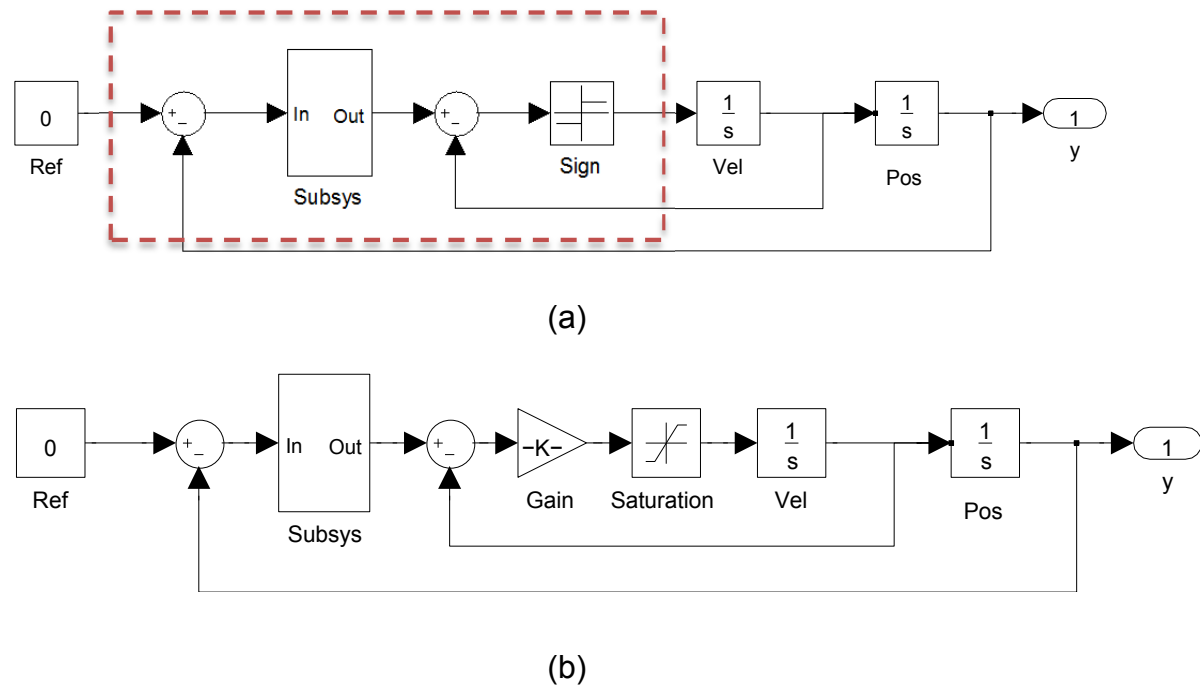


Fig. 4 – Controlo do sistema em cadeia fechada  
(a) Estrutura ideal (b) Estrutura para simulação

9. Realize simulações que ilustrem o funcionamento do sistema em malha fechada da figura 4b, verificando a sua equivalência com a estratégia de malha aberta usada anteriormente<sup>3</sup> para impulsos rectangulares. **Justifique** as características oscilatórias do sinal de controlo que obteve em malha fechada após convergência do estado do sistema para a vizinhança da origem. Este comportamento, conhecido por *chattering*, é problemático?
10. A figura 5 apresenta uma arquitectura de controlo modificada que evita o *chattering* na entrada. Em traços gerais este método altera a curva de

<sup>3</sup> Para evitar problemas numéricos no cálculo da evolução do modelo é aconselhável substituir o bloco “Sign” por uma saturação em  $\pm 1$  com uma estreita zona linear. Isto consegue-se ligando um bloco de ganho elevado em cascata com um bloco de saturação em  $\pm 1$ . **Atenção aos parâmetros deste bloco, que não correspondem aos valores por omissão da biblioteca do SIMULINK.**

comutação, especificando um intervalo  $\pm y_l$  em torno da origem onde o seu andamento passa a ser linear, e atribuindo à curva uma espessura não nula no plano de fase. O mapeamento do subsistema “Subsys” é dado pela expressão

$$f(x) = \begin{cases} \frac{k_1}{k_2} x, & \text{se } |x| \leq y_l \\ \text{sgn}(x) \left[ \sqrt{2|x|} - \frac{1}{k_2} \right], & \text{se } |x| > y_l \end{cases}$$

onde as constantes  $k_1 = 1/y_l$ ,  $k_2 = \sqrt{2k_1}$  asseguram que a curva de comutação e a sua derivada são contínuas. Dê um significado mais preciso a esta descrição sumária, **representando** a função de geração da entrada  $u(y, \dot{y})$  (região tracejada no diagrama de blocos) para um valor adequado de  $y_l$  e **explicando** o princípio de funcionamento.

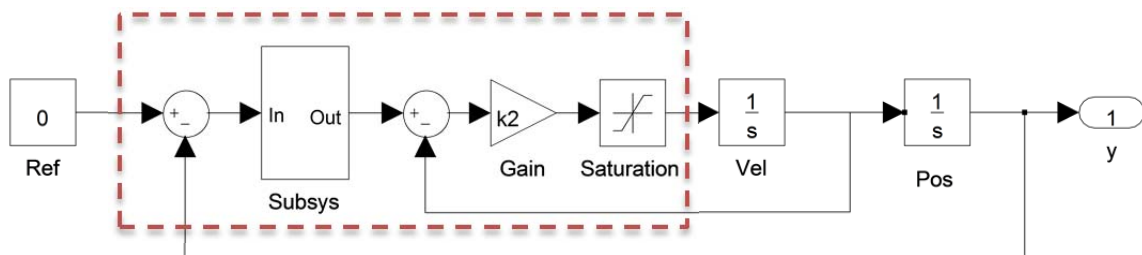


Fig. 5 – Arquitectura modificada que evita oscilações no sinal de controlo.

11. Implemente este sistema em SIMULINK e compare a evolução do estado e do sinal de controlo com o caso do sistema básico em cadeia fechada. Quantifique a degradação no tempo de resposta e discuta o seu impacto. Compare também com a resposta do sistema linear que se obtém retendo apenas o ramo superior da função  $f(x)$  definida acima, estendido para todo o  $x$ .

12. À semelhança da configuração em cadeia aberta analise o comportamento do sistema perturbado com  $b = 0.025$ . Compare com os resultados em cadeia aberta e discuta a robustez dos dois tipos de estrutura.

**13.** Simule o sistema da figura 5 com referências não nulas, aplicando na entrada “Ref” sinais constantes por troços e sequências de rampas. Comente a fidelidade de seguimento que obteve nos dois casos.